



ویژگی‌های زمین شیمیایی و شیمی کانی کلینوپیروکسن سنگ‌های بازالتی منطقه گشت- ماسوله کوه‌های البرز

لیلا رضائی^۱، محسن مؤذن^{*}^۱، مارتین تیمرمن^۲

۱- گروه علوم زمین، دانشکده علوم طبیعی، دانشگاه تبریز، تبریز

۲- انسیستیتوی علوم زمین، دانشگاه پتسدام، پتسدام، آلمان

(دریافت مقاله: ۹۸/۶/۳۰، نسخه نهایی: ۹۸/۹/۲۳)

چکیده: سنگ‌های بازالتی در منطقه گشت-ماسوله در جنوب غرب فومن، استان گیلان، در واحدهای ژوراسیک و نیز واحدهای کرتاسه پسین در منطقه گسترش دارند. براساس شیمی سنگ کل، عدد منیزیم این سنگ‌ها بین ۳۰ و ۳۱/۷ است. الگوی عناصر خاکی نادر (REE)، غنی شدگی REE سبک را نسبت به REE سنگین نشان می‌دهد ($\text{La}_{\text{N}}/\text{Yb}_{\text{N}} = ۷/۷ - ۹/۸$). ناهنجاری منفی Ti و Nb در نمودار عنکبوتی عناصر جزئی بهنجار شده به گوشه‌های اولیه بیانگر تشکیل مذاب این سنگ‌ها در محیط وابسته به قوس است. ویژگی شیمیایی درشت بلور کلینوپیروکسن با ترکیب دیوبسید نشانگر تبلور این کانی از یک ماغمای آهکی قلبیانی در یک محیط وابسته به کشش است. براساس ویژگی‌های زمین شیمیایی و شیمی کانی، این سنگ‌ها در یک محیط کششی متبلور شده‌اند و همچنین دارای ویژگی‌های محیط قوس هستند که به ارث رسیده از فرورانش پیشین به احتمال بسیار فرورانش پوسته اقیانوسی تیس کهنه، در شمال ایران در رشته کوه البرز است.

واژه‌های کلیدی: البرز؛ گشت-ماسوله؛ بازالت؛ کلینوپیروکسن؛ محیط زمین ساختی کششی

مقدمه

گسترش حوضه جنوبی دریای خزر می‌دانند. از فعالیت‌های ماقمایی در این دوره می‌توان به تشکیل گایروهای قلبیانی کربن در البرز مرکزی و بازالت‌های شاهروند، دامغان و سمنان اشاره نمود که برخی [۱۱، ۱۰] تشکیل این توده‌ها را در ارتباط با حرکت‌های کششی تریاس پایانی و ژوراسیک آغازی در البرز در نظر می‌گیرند. سنگ‌های آتشفسانی کرتاسه آغازی در البرز با ضخامت ۱۲۰۰ متر در چالوس رخمنون گستردگی دارند [۱]. کزمین [۱۲] تشکیل این سنگ‌ها را وابسته به رخدادهای کافتی در کرانه البرز شمالی می‌داند. همچنین برخی [۱۴، ۱۳] تشکیل سنگ‌های آتشفسانی قلبیانی کرتاسه میانی در کجور و عباس‌آباد چالوس را نتیجه صعود بی درروی مذاب برآمده از گوشته دگرنهاده در یک محیط کششی کافت قاره‌ای و در ارتباط با ساختارهای گراین توصیف می‌نمایند. به عقیده برخی

کوه‌های البرز در نتیجه بسته شدن اقیانوس پالئوتیس، رخدادهای مربوط به برخورد پلیت ایران از سرزمین‌های گندوانایی به کرانه جنوبی سرزمین‌های اوراسیایی را در خود ثبت کرده اند [۵-۱]. برخی پژوهشگران این برخورد را مربوط به رخدادهای ائوسیمیرین در اوخر تریاس پایانی و ژوراسیک آغازی می‌دانند که پیامد آن ناپیوستگی در قاعده رسوهای شمشک است [۶]. رسوهای تریاس پایانی- ژوراسیک آغازی (شمشک) در البرز گسترش بسیاری دارند و بیشتر از سنگ‌های سیلیسی تخریبی تشکیل شده‌اند که در پی حرکت‌های زمین- ساختی سیمیرین میانی [۸، ۷] با تغییر نظام دریایی با دگرшибی به رسوهای کربناتی بازرسین (ژوراسیک میانی) تبدیل می‌شوند. [۹] این تغییر نظام در رسویگذاری را شروع

نمونه‌ها پس از پودر شدن در آزمایشگاه شرکت ZMین پژوه سنه‌ند، برای تجزیه به آزمایشگاه Actlabs کانادا ارسال شدند. به منظور آماده‌سازی نمونه‌ها برای تجزیه اکسیدهای اصلی و عناصر فرعی و جزئی منتخب (Ba, Be, Sc, Sr, V, Y, Zr) نخست هر نمونه با لیتیوم متاپورات و لیتیوم متابورات مخلوط شده و پس از ذوب در کوره، در محلول ۵٪ اسیدنیتریک حل شد. محلول به دست آمده پس از رقیق سازی‌های لازم برای اندازه‌گیری اکسیدهای اصلی، عناصر فرعی و عناصر خاکی نادر به روش طیف سنجی نشر نوری پلاسمای جفت شده القایی (ICP-OES) با دستگاه Varian Vista ۷۳۵ تجزیه شدند. دستگاه با ۷ نمونه استاندارد تهیه شده توسط USGS و CANMENT واسنجی شده و برای کنترل درستی و دقیقت اندازه‌گیری‌ها، تجزیه یکی از نمونه‌های استاندارد تکرار شد. برای اندازه‌گیری عناصر خاکی نادر (La, Ce, Pr, Nd, Sm, Eu, Gd, Tb, Dy, Ho, Er, Tm, Yb, Lu, Cr, Hf, Ni, Nb, Pb, Rb, Ta, Th)، یک گرم از نمونه پودر شده به صورت محلول ۲۵۰ میلی لیتری درآمد که نمونه‌های مرجع بین‌المللی همزمان آماده شدند. این عناصر به روش طیف‌سنجدی جرمی پلاسمای جفت شده القایی (ICP-MS) با دستگاه Perkin Elmer ۹۰۰۰ تجزیه گردیدند. پیش از اندازه‌گیری اکسیدهای اصلی و عناصر فرعی و خاکی نادر نمونه‌ها، مقدار مواد فرار با محاسبه وزن کم شده از نمونه پس از دو ساعت گرمادهی در دمای ۱۰۰۰ درجه سانتی‌گراد تعیین شد. دقت آزمایش برای اکسیدهای اصلی ۰.۲٪ و برای عناصر فرعی ۰.۵٪ است.

درشت بلورهای کلینوپیروکسن در مؤسسه علوم زمین دانشگاه پتسدام آلمان با دستگاه ریزپردازنده الکترونی ۸۲۰۰ JEOL JXA با ولتاژ شتاب دهنده 15 kV با شدت جریان 10 nA و قطر پرتوی لیزر $2\text{ }\mu\text{m}$ تجزیه شد. دقیق و درستی نتایج با نمونه‌های مرجع طبیعی مقایسه گردید.

بحث و بررسی

منطقه‌ای که برای بررسی در این پژوهش انتخاب شد در شمال ایران در کوههای البرز در طول جغرافیایی $49^{\circ} 0' 0''$ در $49^{\circ} 49' 0''$ و عرض جغرافیایی $35^{\circ} 7' 37''$ تا $37^{\circ} 13' 14''$ در جنوب غرب فومن در طول رودخانه ماسوله قرار دارد. سنگ‌های آتشفسانی این منطقه در واحد های ژواراسیک و به احتمال

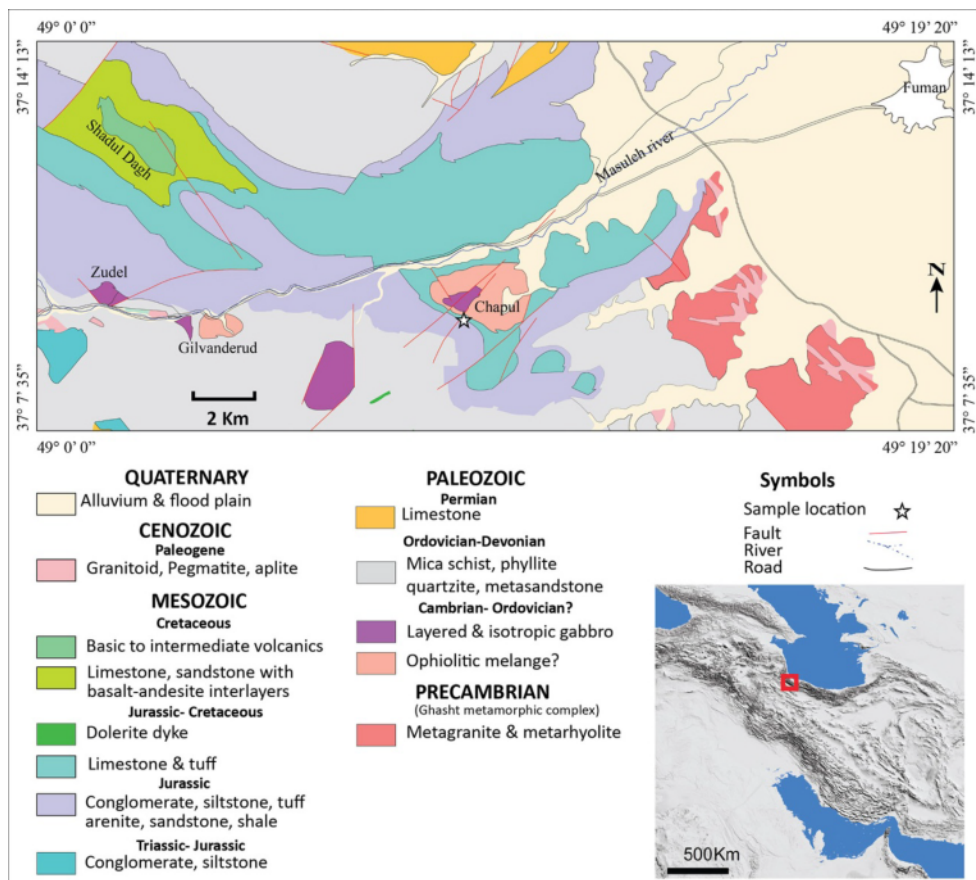
پژوهشگران [۱۵، ۱۶] بازالت‌های قلیایی کرتاسه پسین مربوط به توالی افیولیتی حوضه جنوبی خزر نتیجه فعالیت تنوره در محیط وابسته به کشنش و سنتگ‌های مافیک و فرامافیک این مجموعه از یک ماقمای بازالتی در یک محیط قوس و یا فرافرونشی تشکیل شده‌اند. دلاری و همکاران [۱۷] فعالیت آتشفسانی قلیایی کرتاسه پسین در البرز (جنوب لاهیجان) را در ارتباط با رخداد کافت قاره‌ای در نتیجه فعالیت تنوره‌های گوشه‌ای عنوان می‌کنند. برخی [۱۸-۲۰] عقیده دارند که بازالت‌ها و گابروهای کرتاسه جواهردشت در شرق گیلان از گوشه‌ست کره‌ای با منبع مورب در یک محیط کافت قاره‌ای تشکیل شده‌اند. از دیگر فعالیت‌های ماقمایی دوره کرتاسه در البرز می‌توان به آتشفسانی‌های قلیایی سپارد (شمال شرق قزوین) اشاره کرد که در یک محیط کششی کافت درون قاره‌ای تشکیل شده‌اند [۲۱]. برپایه اطلاعات نقشه ۱:۱۰۰۰۰۰ بذر انزلی [۲۲]، فعالیت آتشفسانی مزوژئیک در منطقه گشت- ماسوله شامل بازالت‌های تریاس پایانی- ژوراسیک آغازی و آتشفسانی‌های کرتاسه پایانی با ترکیب بازی تا حد واسط است. بازالت‌های منطقه گشت- ماسوله در رستای آبرود، جنوب غرب فومن، در واحدهای ژوراسیک و به احتمال بسیار جوان‌تر از آن رخمنون دارند (بدلیل پوشش گیاهی، ارتباط چینه- شناسی این سنگ‌ها با واحدهای مجاور قابل مشاهده نیست). در این پژوهش، شیمی سنگ کل و شیمی درشت بلورهای کلینوپیروکسن بازالت‌ها در این منطقه برای تعیین ویژگی‌های ماقمای مادر این سنگ‌ها و نیز محیط زمین ساختی تشکیل این ماقماها بررسی شد.

روش بررسی

پیمایش‌های صحرایی و برداشت نمونه‌ها از منطقه مورد بررسی انجام شد و پس از بررسی نمونه‌های دستی، نمونه‌هایی با کمترین دگرسانی برای تهیه مقاطع میکروسکوپی و بررسی‌های بعدی انتخاب شدند. چهار نمونه سالم پس از بررسی‌های میکروسکوپی برای تجزیه شیمی کل انتخاب گردیدند. بدلیل دگرسان بودن سایر نمونه‌ها، انتخاب نمونه بیشتر برای تجزیه شیمیایی سنگ کل ممکن نبود. البته، از آنجا که نمونه‌های بررسی شده با میکروسکوپ ویژگی‌های بافتی و کانی شناسی بسیار مشابهی را نشان می‌دهند، نمونه‌های تجزیه شده معرف این: بازالت‌ها هستند.

براساس ویژگی چینهای و سنی درون لایه‌های آهکی، به پالئوزوئیک نسبت داده می‌شوند. توده‌های مافیک به همراه واحدهایی به سن تریاس-ژوارسیک در سازند شمشک که تنابوی از ماسه آرکوزی و کنگلومرا ناهمگن و لای سنگ به همراه بازالت‌های قلایی و اسپیلیت و نیز از شیل و لای سنگ و لایه‌های متوسط تا ضخیم آرنایت بروند دارند [۲۲]. از دیگر سنگ‌های بازی در منطقه می‌توان به گابروهای انباشتی و همسانگرد که رخنمون آنها در نزدیکی روستای گیلونده رود و زودل قابل مشاهده است اشاره کرد. همچنین در ارتفاعات روستای چپول تا چپول-کش نیز در مسیر رودخانه اصلی می-توان قطعه‌های بسیار بزرگی از سنگ‌های گابرویی که بیشتر از گابروهای انباشتی کلینوپیروکسن-الیوین تشکیل شده‌اند را در مسیر رودخانه دید. بدلیل وجود پوشش گیاهی و دگرسانی شدید در منطقه، تعیین روابط چینهای سنگ‌های بازالتی در ارتفاعات روستای آبرود فومن با واحدهای کناری بسیار مشکل و تا حدی ناممکن است (شکل ۲).

بسیار جوان تر از زوراسیک یافت می‌شوند که نمونه‌های بازالتی از رستای آبرود واقع در جنوب غرب فومن برداشت شدند. رخمنون سنگ‌های آتشفشنای وابسته به کرتاسه در گوشه شمال غرب نقشه ۱:۱۰۰۰۰۰ بندرانزلی [۲۲] (شمال غرب شاندمن) و در شمال غرب محل نمونه‌برداری نشان داده شده- اند (شکل ۱). نمونه‌های برداشت شده در این پژوهش از ارتفاعات رستای آبرود فومن در ادامه واحدهای بازالتی و آندزیتی کرتاسه بودند که در شمال غرب محل نمونه‌برداری در شادول داغ و ماسوله داغ، رخمنون آنها در نقشه ۱:۲۵۰۰۰ بندرانزلی [۲۳] گزارش شده است. با توجه به بروزد کوچک سنگ‌های آتشفشنای مورد نظر، این سنگ‌ها در نقشه بندرانزلی در محل موردنی برسی مشخص نشده‌اند. از واحدهای قدیمی همراه این سنگ‌ها می‌توان به ماسه‌های سیلتی و شیل- ها با دگرگونی ضعیف اشاره کرد که با میان لایه‌هایی از آهک خاکستری تیره بلوری و افق‌هایی از سنگ‌های آندزیتی دگرسان شده دیده می‌شوند. این نهشته‌های توربیدیاتی



شکل ۱ نقشه زمین‌شناسی منطقه مورد بررسی و جایگاه آن در نقشه ایران، ساده شده و برگرفته از نقشه ۱:۱۰۰۰۰۰ بnderانزلی سازمان زمین-شناسی ایران [۲۲].

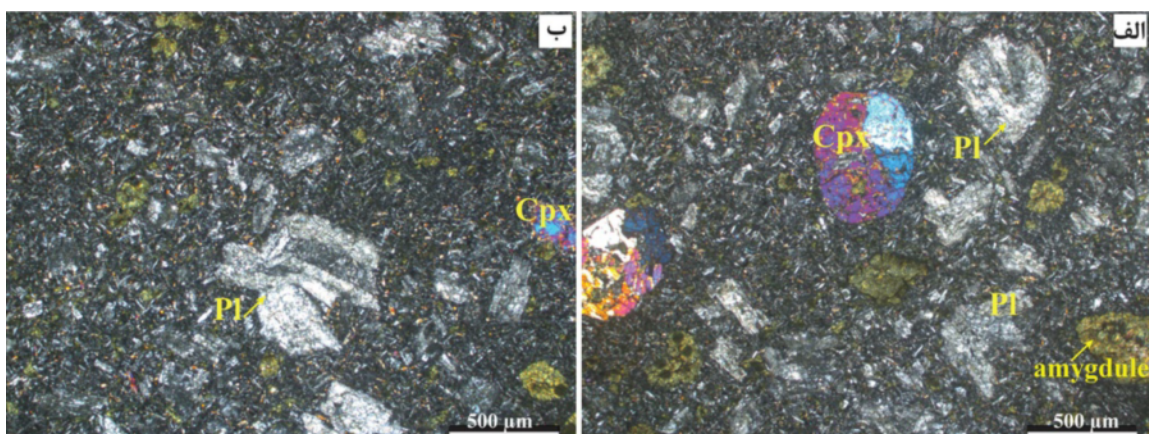


شکل ۲ الف و ب) بروند بازالتها در منطقه و پ) نمای نزدیک از بازالتها و حفره‌ها پر شده با کانی‌های ثانویه.

پلاژیوکلاز بیشتر به سرسیت دگرسان شده است، از این رو تجزیه قابل قبولی از درشت بلور پلاژیوکلاز برای تعیین ترکیب شیمیایی آنها از لبه به مرکز بدست نیامد. تجزیه‌های انجام شده محدود به چند نقطه از بخش‌های سالم پلاژیوکلاز هستند که مقدار عضو نهایی آنورتیت 82.5% تا 85.7% درصد را برای آنها نشان می‌دهد.

درشت بلورهای کلینوپیروکسن گاهی به صورت شبه ریخت با فازهای ثانویه مانند کلسیت و چرت پر شده‌اند (شکل ۳ الف)، ولی بیشتر آنها سالم هستند. الیوین در نمونه‌های مورد بررسی دیده نشد. کانی‌های تیره دانه‌ریز بوده و به مقدار بسیار کم و فرعی در زمینه سنگ قابل مشاهده است [۲۴].

سنگنگاری
در نمونه دستی این سنگ‌ها، بادامک‌ها به صورت ثانویه با چرت و یا کلسیت پر شده‌اند (شکل ۲ پ). کانی‌های اصلی بازالت‌های مورد بررسی کلینوپیروکسن و پلاژیوکلاز هستند (شکل‌های ۳ الف و ب). کانی‌های تیره در زمینه‌ای شامل پلاژیوکلاز و کلینوپیروکسن دانه‌ریز حضور دارند. کلینوپیروکسن به صورت درشت بلور و شکل دار تا نیمه شکل دار در اندازه تقریبی $500\text{ }\mu\text{m}$ به فراوانی 20% و پلاژیوکلاز بصورت درشت بلور شکل دار در اندازه $500\text{--}200\text{ }\mu\text{m}$ به فراوانی حدود 20% در زمینه حضور دارند. پلاژیوکلاز گاهی بافت انباشتی یا گلومرولوبورفیری دارد و با ماکل چندریخت مشخص می‌شود. (شکل ۳ ب).



شکل ۳ الف و ب) تصاویر مقطع میکروسکوپی بازالت‌های منطقه گشت-ماسوله از درشت بلورهای کلینوپیروکسن و پلاژیوکلاز در زمینه دانه ریز. نشانه‌های اختصاری کانی‌ها از مرجع [۲۴] است.

۶/۸ تا ۶/۹ درصد وزنی، Na_2O از ۳/۰ تا ۳/۷ درصد وزنی و برای K_2O از ۲/۱ تا ۲/۵ درصد وزنی است. عدد منیزیم نمونه‌های تجزیه شده بین ۳۰ و ۳۱/۷ متفاوت است. ترکیب شیمیایی بازالتها در جدول ۱ آورده شده است.

شیمی سنگ کل بازالت
از نظر شیمیایی، تغییرات اکسیدهای اصلی سنگ‌های بازالتها برای SiO_2 از ۴۹/۴ تا ۵۰/۰ درصد وزنی، MgO از ۴/۱ تا ۴/۴ درصد وزنی، FeO^t از ۹/۳ تا ۹/۷ درصد وزنی، Al_2O_3 از ۱۸/۰ تا ۱۸/۴ درصد وزنی، TiO_2 از ۱/۲ تا ۱/۵ درصد وزنی، CaO از

جدول ۱ نتایج تجزیه شیمیایی سنگ کل بازالت‌های آبرود-فومن در منطقه گشت-ماسوله به روش‌های ICP-MS و ICP-OES

شماره نمونه	۱۶FMN۲۲A	۱۶FMN۲۲C	۱۶FMN۲۲D	۱۶FMN۲۲B
اکسیدهای اصلی (درصد وزنی)				
SiO_2	۴۹.۴۴	۴۹.۷۵	۴۹.۸۱	۵۰.۱۲
TiO_2	۱۳۲	۱۸	۱۲۱	۱۳۸
Al_2O_3	۱۸.۰۶	۱۸.۳۹	۱۸.۱۱	۱۷.۹۷
FeO^t	۹.۷۳	۹.۹۶	۹.۷۸	۹.۶۳
MnO	۰.۱۵	۰.۱۷	۰.۱۸	۰.۱۵
MgO	۴.۱۹	۴.۱۲	۴.۷۷	۴.۸۵
CaO	۶۷۸	۶۷۷	۶۸۰	۶۸۱
Na_2O	۲۷۰	۳۵۸	۲۹۷	۳۲۶
K_2O	۲۲۵	۲۴۷	۲۰۶	۲۱۲
P_2O_5	۰.۴۳	۰.۳۹	۰.۴۰	۰.۲۸
LOI	۲۲۲	۳۵۱	۴۸۲	۳۸۸
Total	۹۹.۲۹	۱۰۰.۲۵	۹۹.۸۱	۹۹.۶۷
$100 \times \text{MgO} / (\text{MgO} + \text{FeO}^t) = \text{Mg}^\#$	۱۳۰	۰.۳۰	۵۲۱	۷۳۱
عناصر جزئی و فرعی (ppm)				
Sc	۲۴۰	۳۱۰	۲۲۰	۲۷۰
Rb	۴۶۰	۵۱۰	۴۰۰	۴۳۰
Ba	۷۱۹۰	۶۹۸۰	۷۲۲۰	۷۴۲۰
Th	۴۲۰	۴۷۰	۴۴۰	۵۰۰
U	۱۰۰	۱۳۰	۰۹۰	۱۰۰
Nb	۱۳۰	۱۵۰	۱۳۰	۱۲۰
Ta	۰.۸۰	۰.۹۰	۰.۸۰	۰.۹۰
Pb	b.d.	b.d.	b.d.	b.d.
Sr	۷۸۰	۹۶۶۰	۹۸۱۰	۱۰۲۰
Y	۲۳۰	۲۳۰	۲۶۰	۲۱۰
Zr	۱۲۰	۱۲۰	۱۳۷۰	۱۴۴۰
Hf	۲۲۰	۳۰۰	۲۹۰	۳۰۰
Ni	۴۰۰	۴۷۰	۳۹۰	۵۶۰
Cr	۸۰۰	۶۹۰	۷۷۰	۹۸۰
V	۲۳۳۰	۲۲۱۰	۲۵۲۰	۲۴۶۰
عناصر خاکی نادر (REE (ppm))				
La	۳۱.۴	۲۹.۶	۳۱.۶	۳۷.۸
Ce	۶۳.۸	۶۷.۱	۶۴.۶	۶۹.۰
Pr	۲.۵۷	۲.۴۵	۲.۹۰	۱.۱۱
Nd	۳۱.۴	۳۳.۰	۳۴.۷	۳۹.۶
Sm	۶.۶	۶.۸	۶.۱	۷.۴
Eu	۲.۰	۲.۰	۲.۰	۲.۰
Gd	۰.۴۰	۰.۵۰	۰.۵۰	۰.۱۰
Tb	۰.۸۰	۰.۹۰	۰.۸۰	۱.۳۰
Dy	۴.۷۰	۵.۰۰	۴.۳۰	۴.۶۰
Ho	۰.۹۰	۰.۹۰	۰.۹۰	۰.۸۰
Er	۲۴۰	۲۴۰	۲۱۰	۲۵۰
Tm	۰.۳۶	۰.۳۱	۰.۳۹	۰.۳۸
Yb	۲.۳۰	۲.۵۰	۲.۸۰	۳.۵۰
Lu	۰.۳۵	۰.۳۳	۰.۳۶	۰.۳۹
$(\text{La/Yb})_N$	۹.۷۹	۸.۹۹	۸.۱۰	۷.۷۵
$(\text{La/Sm})_N$	۳.۰۷	۲.۸۱	۲.۳۴	۲.۳۰
$(\text{Sm/Yb})_N$	۳۱.۹	۳۰.۲	۲۲۲	۲۲۵
$\text{Eu}_{\text{N}}/\text{Eu}^*$	۱.۰۲	۱.۰۴	۱.۰۳	۰.۹۱
Th/Yb	۱.۸۳	۱.۸۸	۱.۵۷	۱.۴۹
Nb/Yb	۵۶۵	۶۰۰	۴۶۴	۴۴۴
Nb/Y	۰.۵۷	۰.۶۵	۰.۵۰	۰.۵۷
Zr/Y	۵۶۵	۵۲۲	۵۱۷	۶۸۶
Zr/Yb	۵۶۵۲	۴۸۰	۴۸.۹۳	۴۱.۱۴
Nb/Th	۲.۱۰	۳.۱۹	۲.۹۵	۲.۲۱
(زیر حد آشکار سازی)				
حد آشکار سازی برای سرب $5 \geq \text{ppm}$				

دارای TiO_2 ۰/۱ تا ۲/۲ درصد وزنی)، Al_2O_3 ۰/۵ تا ۵/۷ درصد وزنی) و Na_2O ۰/۲ تا ۰/۵ درصد وزنی) پایین و مقدار CaO بالا ۱۸/۵ تا ۲۳/۵ درصد وزنی) هستند. عدد منیزیم (Mg^+) این کلینوپیروکسن‌ها بین ۶۴/۸ تا ۹۰/۳ در تغییر است. ترکیب میانگین اعضای نهایی کلینوپیروکسن سنگ‌های مورد بررسی $En_{38/6-45/9} F_{9/1-16/6} Wo_{40/0-47/8}$ است. با توجه به درجه دگرسانی بالا و کوچک بودن اندازه دانه‌های کلینوپیروکسن، تجزیه شیمیایی آنها به صورت نقطه‌ای و از بخش‌های سالم کانی انجام گرفت. تجزیه‌ی خطی (لبه) از یکی از کلینوپیروکسن‌های نمونه A ۱۶FMN۳۲A نشان می‌دهد که تغییر شیمیایی مهمی در این کانی وجود ندارد و کلینوپیروکسن‌های این بازالت‌ها از نظر ترکیب شیمیایی بدون منطقه بندی شیمیایی هستند (شکل ۴ الف). بر اساس رده بندی مرجع [۳۵]، کلینوپیروکسن‌ها از نوع کلینوپیروکسن‌های Ca, Mg, Fe و فقیر از سدیم هستند. این کلینوپیروکسن‌ها در نمودار نامگذاری کلینوپیروکسن‌ها، در گستره دیوپسید قرار دارند (شکل ۴ ب).

جدول ۲ نتایج تجزیه نقطه‌ای ریزپردازشی درشت‌بلور کلینوپیروکسن بازالت‌های آبرود-فومن (۱۶FMN۳۲A) در منطقه گشت-ماسوله (بر حسب درصد وزنی).

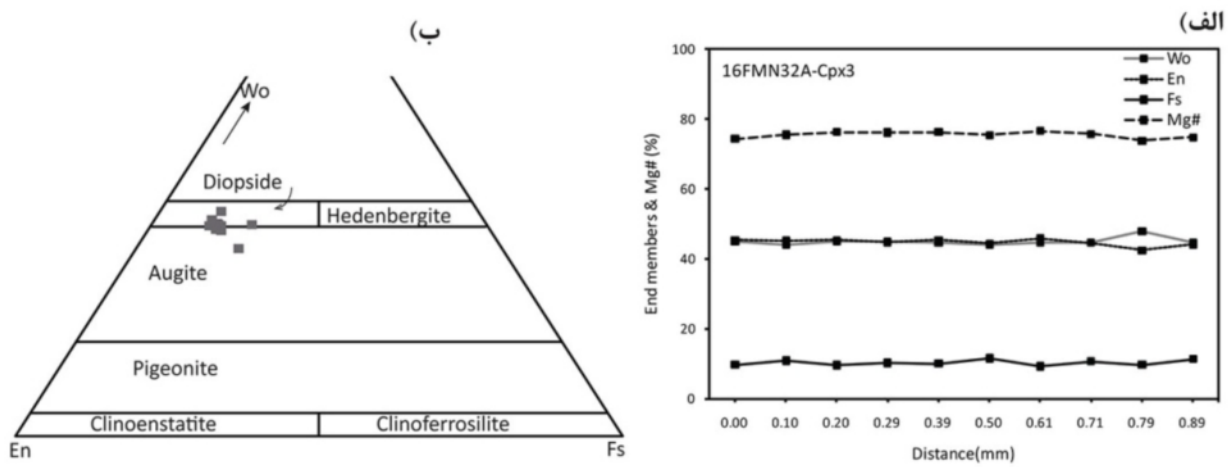
کانی	۱-۱Cpx	۲-۱Cpx	۳-۱Cpx	۱-۲Cpx	۲-۲Cpx	۴Cpx	۵Cpx	۶Cpx	۷Cpx	۷-۷Cpx	۸Cpx	۹Cpx
SiO_2	۵۰/۷۹	۵۱/۰۴	۵۰/۹۵	۵۰/۸۵	۵۰/۶۰	۵۰/۷۳	۵۰/۴۶	۵۱/۰۴	۵۰/۷۹	۴۸/۲۷	۴۹/۷۸	
TiO_2	۰/۹۳	۰/۹۲	۱/۰۲	۰/۹۶	۱/۰۹	۰/۹۴	۰/۹۸	۰/۸۷	۰/۹۲	۰/۹۶	۲/۱۵	۱/۵۰
Al_2O_3	۳/۵۷	۳/۴۱	۳/۶۴	۳/۷۰	۳/۸۹	۳/۶۹	۴/۰۰	۳/۴۴	۳/۵۴	۳/۷۰	۴/۹۶	۳/۷۲
Cr_2O_3	۰/۰۸	۰/۰۴	۰/۰۷	۰/۱۴	۰/۱۷	۰/۱۲	۰/۰۳	۰/۰۵	۰/۱۸	۰/۰۷	۰/۰۱	۰/۰۶
FeO	۸/۹۲	۸/۷۷	۹/۰۰	۹/۱۴	۹/۳۲	۹/۰۳	۸/۹۹	۸/۷۶	۹/۲۸	۸/۷۴	۱۲/۰۸	۱۲/۶۲
MnO	۰/۲۴	۰/۲۷	۰/۲۷	۰/۲۴	۰/۲۲	۰/۲۰	۰/۳۲	۰/۲۴	۰/۲۳	۰/۲۲	۰/۳۱	۰/۳۳
MgO	۱۵/۰۴	۱۴/۹۱	۱۵/۰۹	۱۴/۹۲	۱۵/۰۲	۱۴/۸۹	۱۴/۶۸	۱۴/۹۱	۱۵/۰۰	۱۵/۰۱	۱۲/۴۷	۱۴/۴۸
CaO	۲۰/۸۹	۲۱/۰۰	۲۱/۰۸	۲۱/۱۳	۲۰/۸۰	۲۰/۹۷	۲۰/۸۰	۲۱/۰۸	۲۰/۵۷	۲۱/۴۴	۲۰/۲۲	۱۸/۵۵
Na_2O	۰/۳۲	۰/۲۹	۰/۳۰	۰/۳۱	۰/۲۷	۰/۳۱	۰/۳۸	۰/۳۲	۰/۲۹	۰/۳۶	۰/۳۶	۰/۰۴
K_2O	۰/۰۰	۰/۰۰	۰/۰۰	۰/۰۱	۰/۰۰	۰/۰۱	۰/۰۱	۰/۰۰	۰/۰۰	۰/۰۱	۰/۰۴	۰/۰۱
NiO	۰/۰۳	۰/۰۰	۰/۰۱	۰/۰۳	۰/۰۰	۰/۰۱	۰/۰۴	۰/۰۰	۰/۰۰	۰/۰۰	۰/۰۰	۰/۰۲
Total	۱۰۰/۸۱	۱۰۰/۸۶	۱۰۱/۵۵	۱۰۱/۴۲	۱۰۱/۳۸	۱۰۰/۸۸	۱۰۰/۶۸	۱۰۰/۷۵	۱۰۱/۰۴	۱۰۱/۵۱	۱۰۰/۸۷	۱۰۱/۲۹
کاتیون‌ها برای ۶ اتم اکسیژن												
Si	۱/۸۷	۱/۸۸	۱/۸۶	۱/۸۶	۱/۸۵	۱/۸۶	۱/۸۶	۱/۸۷	۱/۸۷	۱/۸۵	۱/۸۰	۱/۸۴
Ti	۰/۰۳	۰/۰۳	۰/۰۳	۰/۰۳	۰/۰۳	۰/۰۳	۰/۰۲	۰/۰۳	۰/۰۳	۰/۰۳	۰/۰۶	۰/۰۴
Al	۰/۱۵	۰/۱۵	۰/۱۶	۰/۱۶	۰/۱۷	۰/۱۶	۰/۱۷	۰/۱۵	۰/۱۵	۰/۱۶	۰/۲۲	۰/۱۶
Cr	۰/۰۰	۰/۰۱	۰/۰۱	۰/۰۰	۰/۰۰	۰/۰۰	۰/۰۰	۰/۰۱	۰/۰۱	۰/۰۱	۰/۰۰	۰/۰۰
Fe^{3+}	۰/۰۸	۰/۰۶	۰/۰۸	۰/۰۹	۰/۰۸	۰/۰۸	۰/۰۸	۰/۰۸	۰/۰۶	۰/۱۰	۰/۰۸	۰/۰۹
Fe^{2+}	۰/۱۹	۰/۲۱	۰/۱۹	۰/۱۹	۰/۲۰	۰/۲۰	۰/۱۹	۰/۱۹	۰/۲۲	۰/۱۷	۰/۲۹	۰/۳۰
Mn	۰/۰۱	۰/۰۱	۰/۰۱	۰/۰۱	۰/۰۱	۰/۰۱	۰/۰۱	۰/۰۱	۰/۰۱	۰/۰۱	۰/۰۱	۰/۰۱
Mg	۰/۸۲	۰/۸۲	۰/۸۲	۰/۸۱	۰/۸۲	۰/۸۲	۰/۸۱	۰/۸۲	۰/۸۲	۰/۸۲	۰/۸۹	۰/۸۰
Ca	۰/۸۲	۰/۸۳	۰/۸۲	۰/۸۳	۰/۸۲	۰/۸۳	۰/۸۲	۰/۸۳	۰/۸۱	۰/۸۴	۰/۸۱	۰/۷۴
Na	۰/۰۲	۰/۰۲	۰/۰۲	۰/۰۲	۰/۰۲	۰/۰۲	۰/۰۲	۰/۰۲	۰/۰۲	۰/۰۳	۰/۰۳	۰/۰۲
K	۰/۰۰	۰/۰۰	۰/۰۰	۰/۰۰	۰/۰۰	۰/۰۰	۰/۰۰	۰/۰۰	۰/۰۰	۰/۰۰	۰/۰۰	۰/۰۰
Ni	۰/۰۰	۰/۰۰	۰/۰۰	۰/۰۰	۰/۰۰	۰/۰۰	۰/۰۰	۰/۰۰	۰/۰۰	۰/۰۰	۰/۰۰	۰/۰۰
Total	۴/۰۰	۴/۰۰	۴/۰۰	۴/۰۰	۴/۰۰	۴/۰۰	۴/۰۰	۴/۰۰	۴/۰۰	۴/۰۰	۴/۰۰	۴/۰۰
Mg^+	۷۵/۰۳	۷۵/۲۰	۷۴/۹۴	۷۴/۴۱	۷۴/۱۸	۷۴/۶۱	۷۴/۴۴	۷۵/۲۱	۷۴/۱۴	۷۵/۳۸	۶۴/۷۹	۶۷/۱۶
Al^{IV}	۰/۱۳	۰/۱۲	۰/۱۴	۰/۱۴	۰/۱۵	۰/۱۴	۰/۱۴	۰/۱۳	۰/۱۳	۰/۱۵	۰/۲۰	۰/۱۶
Al^{VI}	۰/۰۲	۰/۰۲	۰/۰۲	۰/۰۲	۰/۰۲	۰/۰۲	۰/۰۳	۰/۰۲	۰/۰۳	۰/۰۱	۰/۰۲	۰/۰۰
Wo%	۴۴/۷۵	۴۴/۶۸	۴۴/۸۹	۴۵/۱۷	۴۴/۴۲	۴۴/۸۹	۴۵/۰۴	۴۵/۱۱	۴۳/۷۲	۴۶/۰۴	۴۵/۰۲	۴۰/۰۰
En%	۴۴/۸۳	۴۴/۱۴	۴۴/۷۱	۴۴/۳۸	۴۴/۶۲	۴۴/۳۵	۴۴/۲۲	۴۴/۴۰	۴۴/۳۵	۴۴/۸۵	۳۸/۶۳	۴۳/۴۴
Fs%	۱۰/۴۳	۱۱/۱۸	۱۰/۴۰	۱۰/۴۴	۱۰/۹۶	۱۰/۷۷	۱۰/۷۴	۱۰/۴۹	۱۱/۹۳	۹/۱۲	۱۶/۳۵	۱۶/۵۶

شیمی درشت بلورهای کلینوپیروکسن کانی پیروکسن یکی از فراوان‌ترین کانی‌های تشکیل دهنده سنگ‌های ماگمایی بازی و فرابازی است و ترکیب آن متناسب با ماگمایی که از آن متبلور می‌شود تغییر می‌کند [۲۶، ۲۵]. ترکیب شیمیایی اولیه آن نیز در برابر دگرسانی‌های بعدی حفظ می‌شود. از این رو، کانی کلینوپیروکسن از کانی‌های مهم و کاربردی برای تعیین سری ماگمایی [۲۷]. محیط زمین ساختی [۲۸] و دما و فشار تبلور سنگ‌های ماگمایی به شمار می‌رود [۳۳-۳۹].

در این پژوهش، شیمی درشت بلورهای کلینوپیروکسن سنگ‌های بازالتی برای تعیین ویژگی‌های ماگمای مادر و جایگاه زمین ساختی تشکیل این سنگ‌های بازالتی در منطقه گشت-ماسوله بررسی شد. ترکیب شیمیایی کانی کلینوپیروکسن در جدول ۲ ارائه شده است. فرمول ساختاری کلینوپیروکسن بر اساس ۶ اتم اکسیژن و ۴ کاتیون محاسبه گردید. Fe^{2+} و Fe^{3+} با روش عنصرستنجی [۳۴] محاسبه شدند. درشت بلورهای کلینوپیروکسن سنگ‌های بازالتی مورد بررسی

ادامه جدول ۲

کانی	-۳Cpx									
SiO ₂	۵۰.۳۰	۵۱.۳۳	۵۱.۱۴	۵۱.۴۳	۵۰.۸۱	۵۱.۳۵	۵۱.۰۸	۵۱.۰۳	۴۸.۷۷	۵۱.۵۱
TiO ₂	۰.۹۱	۰.۹۵	۱.۰۰	۱.۰۸	۰.۹۸	۱.۰۱	۰.۹۷	۰.۹۰	۱.۵۵	۰.۸۳
Al ₂ O ₃	۳۲۴	۲.۸۰	۲.۹۸	۳.۰۱	۴.۰۲	۲.۲۰	۳.۳۷	۳.۴۰	۵.۷۳	۳.۱۱
Cr ₂ O ₃	۰.۱۸	۰.۰۰	۰.۰۱	۰.۰۰	۰.۰۵	۰.۰۰	۰.۰۰	۰.۱۶	۰.۰۵	۰.۱۹
FeO	۹.۲۹	۸.۸۸	۸.۴۹	۸.۵۳	۸.۴۸	۸.۸۳	۸.۴۵	۸.۶۱	۸.۷۰	۹.۰۰
MnO	۰.۲۱	۰.۲۷	۰.۲۹	۰.۲۷	۰.۱۸	۰.۲۲	۰.۲۰	۰.۲۱	۰.۱۹	۰.۲۲
MgO	۱۵.۱۲	۱۵.۳۶	۱۵.۳۴	۱۵.۲۷	۱۵.۳۱	۱۵.۱۹	۱۵.۵۳	۱۵.۰۹	۱۳.۷۹	۱۴.۹۹
CaO	۲۰.۸۵	۲۰.۷۷	۲۱.۲۳	۲۱.۴۲	۲۱.۰۱	۲۰.۹۳	۲۱.۰۶	۲۱.۰۸	۲۱.۶۲	۲۱.۱۶
Na ₂ O	۰.۲۷	۰.۲۸	۰.۳۰	۰.۲۷	۰.۲۷	۰.۲۵	۰.۲۱	۰.۲۶	۰.۳۴	۰.۳۰
K ₂ O	۰.۰۲	۰.۰۱	۰.۰۱	۰.۰۰	۰.۰۰	۰.۰۰	۰.۰۰	۰.۰۱	۰.۰۰	۰.۰۱
NiO	۰.۰۰	۰.۰۱	۰.۰۰۴	۰.۰۰۵	۰.۰۰	۰.۰۰	۰.۰۲	۰.۰۲	۰.۰۳	۰.۰۴
Total	۱۰۰.۳۹	۱۰۰.۶۸	۱۰۰.۸۲	۱۰۱.۳۳	۱۰۱.۱۰	۱۰۰.۹۷	۱۰۰.۹۹	۱۰۰.۷۶	۱۰۰.۷۷	۱۰۱.۳۶
کاتیون‌ها برای ۶ اتم اکسیژن										
Si	۱.۸۶	۱.۸۹	۱.۸۸	۱.۸۸	۱.۸۶	۱.۸۸	۱.۸۷	۱.۸۸	۱.۸۰	۱.۸۹
Ti	۰.۰۳	۰.۰۳	۰.۰۳	۰.۰۳	۰.۰۳	۰.۰۳	۰.۰۳	۰.۰۲	۰.۰۴	۰.۰۲
Al	۰.۱۴	۰.۱۲	۰.۱۳	۰.۱۳	۰.۱۷	۰.۱۴	۰.۱۵	۰.۱۵	۰.۲۵	۰.۱۳
Cr	۰.۰۱	۰.۰۰	۰.۰۰	۰.۰۰	۰.۰۰	۰.۰۰	۰.۰۰	۰.۰۰	۰.۰۰	۰.۰۱
Fe ³⁺	۰.۱۱	۰.۰۷	۰.۰۸	۰.۰۷	۰.۰۸	۰.۰۵	۰.۰۹	۰.۰۷	۰.۱۰	۰.۰۷
Fe ²⁺	۰.۱۸	۰.۲۰	۰.۱۸	۰.۱۹	۰.۱۸	۰.۲۲	۰.۱۷	۰.۲۰	۰.۱۷	۰.۲۱
Mn	۰.۰۱	۰.۰۱	۰.۰۱	۰.۰۱	۰.۰۱	۰.۰۱	۰.۰۱	۰.۰۱	۰.۰۱	۰.۰۱
Mg	۰.۸۳	۰.۸۴	۰.۸۴	۰.۸۳	۰.۸۳	۰.۸۳	۰.۸۵	۰.۸۳	۰.۷۶	۰.۸۲
Ca	۰.۸۲	۰.۸۲	۰.۸۳	۰.۸۴	۰.۸۲	۰.۸۲	۰.۸۳	۰.۸۳	۰.۸۵	۰.۸۳
Na	۰.۰۲	۰.۰۲	۰.۰۲	۰.۰۲	۰.۰۲	۰.۰۲	۰.۰۲	۰.۰۲	۰.۰۲	۰.۰۲
K	۰.۰۰	۰.۰۰	۰.۰۰	۰.۰۰	۰.۰۰	۰.۰۰	۰.۰۰	۰.۰۰	۰.۰۰	۰.۰۰
Ni	۰.۰۰	۰.۰۰	۰.۰۰	۰.۰۰	۰.۰۰	۰.۰۰	۰.۰۰	۰.۰۰	۰.۰۰	۰.۰۰
Total	۴.۰۰	۴.۰۰	۴.۰۰	۴.۰۰	۴.۰۰	۴.۰۰	۴.۰۰	۴.۰۰	۴.۰۰	۴.۰۰
Mg #	۷۴.۳۸	۷۵.۵۲	۷۶.۳۱	۷۶.۱۶	۷۶.۳۰	۷۵.۴۱	۷۶.۶۲	۷۵.۷۶	۷۳.۸۵	۷۴.۸۱
Al ^{IV}	۰.۱۴	۰.۱۱	۰.۱۲	۰.۱۲	۰.۱۴	۰.۱۲	۰.۱۳	۰.۱۲	۰.۲۰	۰.۱۱
Al ^{VI}	۰.۰۰	۰.۰۱	۰.۰۱	۰.۰۱	۰.۰۳	۰.۰۲	۰.۰۱	۰.۰۲	۰.۰۵	۰.۰۲
Wo%	۴۴.۹۵	۴۳.۹۱	۴۵.۰۸	۴۵.۰۵	۴۴.۷۰	۴۳.۹۹	۴۴.۷۷	۴۴.۷۵	۴۷.۸۵	۴۴.۶۸
En%	۴۵.۳۷	۴۵.۲۰	۴۵.۳۳	۴۴.۷۱	۴۵.۳۲	۴۴.۴۲	۴۵.۹۲	۴۴.۵۷	۴۲.۴۶	۴۴.۰۴
Fs%	۹.۶۹	۱۰.۸۹	۹.۵۹	۱۰.۲۴	۹.۹۸	۱۱.۵۷	۹.۳۱	۱۰.۶۹	۹.۶۹	۱۱.۲۸



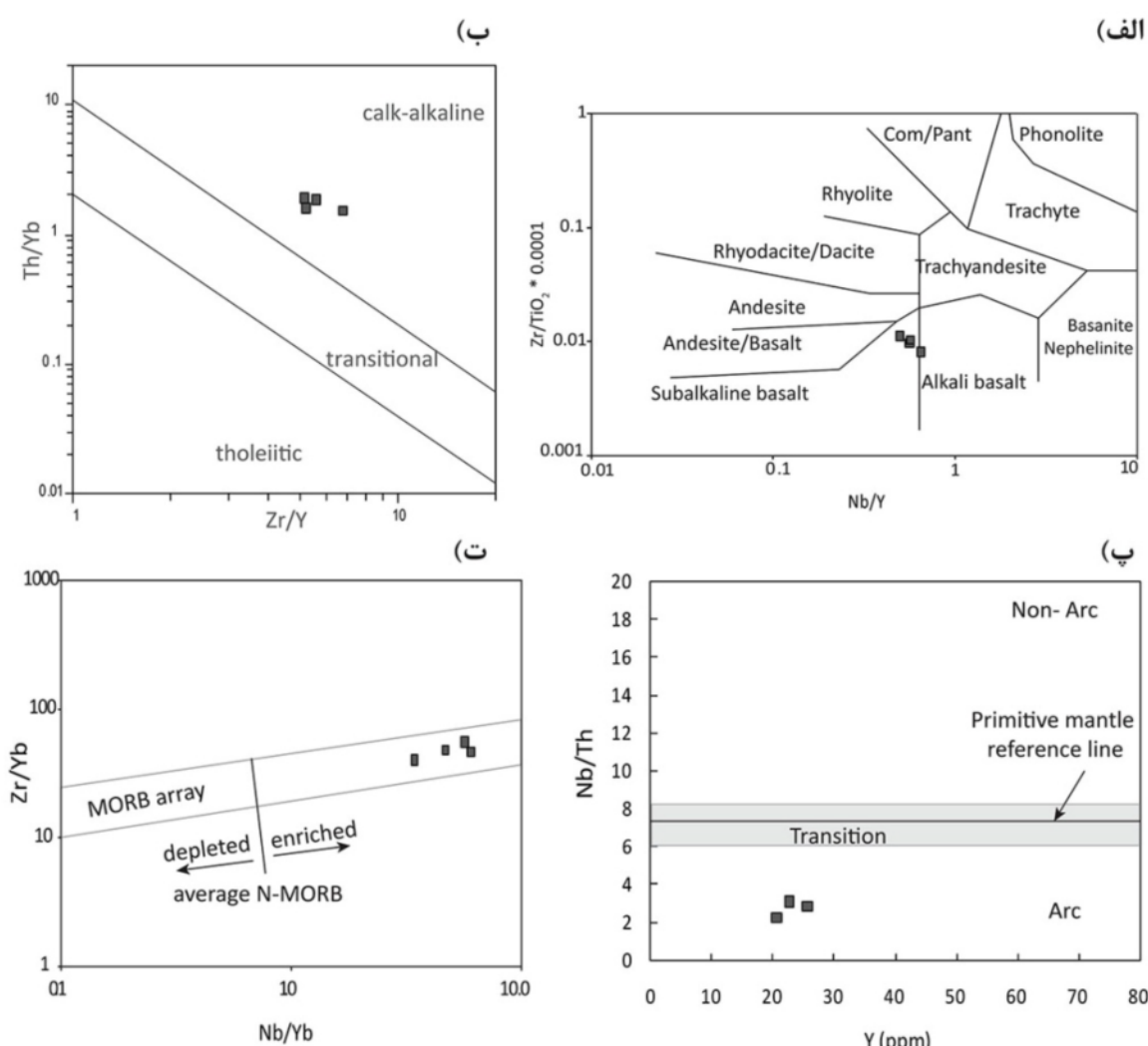
شکل ۴ (الف) نیمروخ تغییرات ترکیب اعضاینهایی و عدد منیزیم درشت بلور پیروکسن سنگ‌های بازالتی مورد بررسی از لبه تا لبه و (ب) نمودار ردبهندی کلینوپیروکسن [۳۵] برای تعیین نوع درشت بلورهای کلینوپیروکسن. نماد کلینوپیروکسن نمونه‌های بازالتی در همه نمودارهای شیمی کانی مانند شکل ۴ است.

زمین ساختی قوس قرار دارند (شکل ۵ پ) که نشان دهنده تهی‌شدگی بیشتر Nb نسبت به Th است. این از ویژگی ماقماهای تشکیل شده در محیط‌های زمین ساختی وابسته به قوس است [۳۸]. نمودار Nb/Yb نسبت به Zr/Yb بازالتها [۳۹] (شکل ۵ ت) نشان می‌دهد که ماقماهای مادر این سنگ‌ها نسبت به ویژگی شیمیایی بازالت پشت‌های میان اقیانوسی (MORB) غنی شده است. ماقماهای بازالتی که از ذوب صفحه فرورونده تشکیل می‌شود در بالای آرایه MORB واقع می‌شود، در حالی که نمونه‌های بازالتی مورد بررسی درون آرایه MORB قرار دارند و نشان می‌دهد که ذوب صفحه فرورونده در تشکیل ماقماهای مادر این سنگ‌ها نقشی نداشته است [۳۹].

بحث

از نظر شیمیایی، ویژگی ماقماهای مادر بازالتها با توجه به Nb/Y نیمه قلیایی است [۳۶] (شکل ۵ الف). در رده‌بندی ماقماهای نیمه قلیایی با استفاده از عناصری که نسبت به دگرسانی بی‌تحرک هستند، ماقماهای آهکی قلیایی نسبت به Yb ماقماهای تولیتی از Th و Zr غنی‌تر بوده و مقدار Y و آنها مشابه یا تهی‌شده‌تر از ماقماهای تولیتی است [۳۷]. این بازالت‌ها در نمودار رده‌بندی سری ماقماهایی، در گستره آهکی قلیایی قرار دارند (شکل ۵ ب).

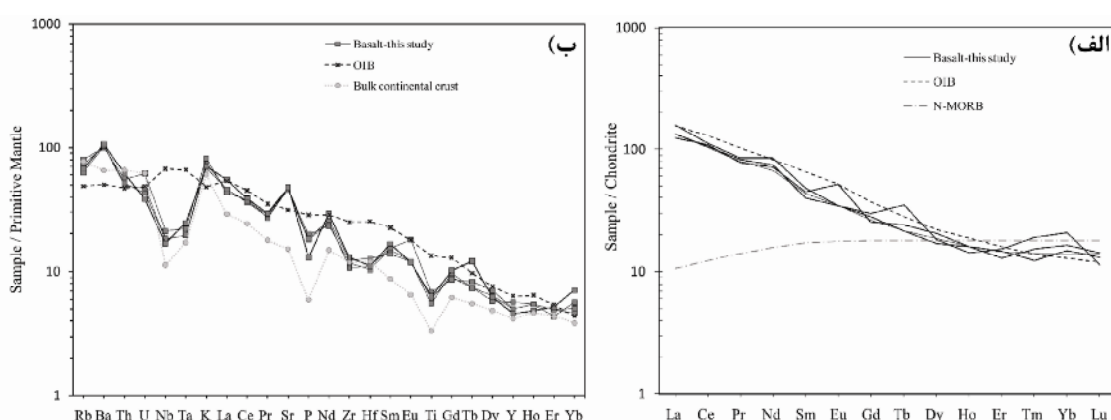
در نمودار مقدار Y نسبت به Nb/Th برای تعیین محیط زمین ساختی، نمونه‌ها دارای $\text{Nb}/\text{Th} < 7/4$ بوده که کمتر از مقدار تعريف شده برای گوشه اولیه است و در گستره محیط



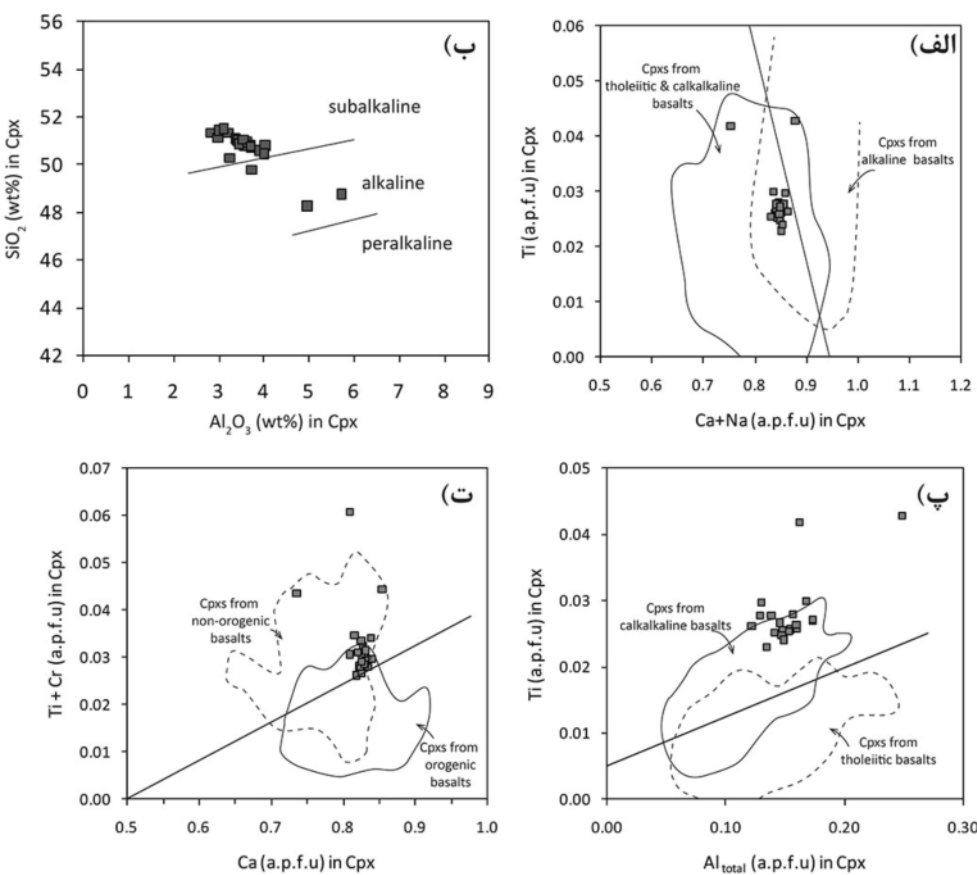
شکل ۵ الف) نمودار Nb/Y نسبت به Zr/TiO_2 برای رده‌بندی سنگ‌های آذرین بیرونی [۳۶]، ب) نمودار Nb/Y نسبت به Th/Yb تعیین سری ماقماهایی بازالت‌های گشت-ماسوله، پ) نمودار Y نسبت به Nb/Th نمودار Y برای تعیین محیط زمین ساختی بازالت‌ها و ت) نمودار Nb/Yb نسبت به Zr/Yb نماد نمونه‌های بازالتی در همه نمودارها مانند شکل ۵ الف است.

براساس نمودارهای مرجع [۲۷]، ترکیب شیمیایی کلینوپیروکسن‌ها نشان می‌دهد که مآگمای تشکیل دهنده سنگ‌های بازالتی در گستره مشترک کلینوپیروکسن‌های سنگ‌های بازالتی متبلور شده از مآگمای قلیایی و نیمه قلیایی واقع است. با توجه به پائین بودن Na و Ti در این کلینوپیروکسن‌ها نسبت به کلینوپیروکسن‌های قلیایی، می‌توان گفت که مآگمای مادر این سنگ‌ها نیمه قلیایی بوده است و داده‌ها سمت چپ خط جدا کننده رسم شده‌اند. این SiO_2 کلینوپیروکسن‌ها براساس نمودار Al_2O_3 نسبت به کلینوپیروکسن [۲۲] برای تعیین سری مآگمایی سنگ‌های بازالتی در منطقه گشت‌ماسوله از یک مآگمای نیمه قلیایی Ti در برابر Al (شکل ۷ الف و ب) و با توجه به نمودار Al در برابر Ti ترکیب شیمیایی کلینوپیروکسن (شکل ۷ ب)، از یک مآگمای آهکی قلیایی متبلور شده‌اند. در نمودار $\text{Ti}+\text{Cr}$ نسبت به Ca برای ردیبندی کلینوپیروکسن‌های مآگمایی بازالتی نیمه قلیایی، نمونه‌های مورد بررسی در گستره همپوشی کلینوپیروکسن‌های بازالتی کوهزایی و غیرکوهزایی قرار دارند. ترکیب شیمیایی کلینوپیروکسن‌ها در مقایسه با کلینوپیروکسن‌های وابسته به محیط‌های غیر کوهزایی که گستره به نسبت وسیعی را در این نمودار دارند، $\text{Ti}+\text{Cr}$ به نسبت پایین تا حدوداًسی طی دارد و مماس با خط جدا کننده رسم می‌شوند. از آنجاکه کلینوپیروکسن‌های بازالتی محیط‌های کوهزایی دارای Cr بسیار پایین هستند و با توجه به مقدار Cr بسیار پایین در کلینوپیروکسن‌های مورد بررسی (اتم در واحد فرمول $^{203}_{\text{Rb}}$)، می‌توان گفت که مآگمایی که این کلینوپیروکسن‌ها از آن متبلور شده‌اند مربوط به محیط‌های دگرگونی وابسته به کوهزایی است (شکل ۷ ت).

الگوی عناصر خاکی نادر (REE) بهنجار شده به کندریت [۴۰] مشابه الگوی محیط‌های بازالت جزایر اقیانوسی (OIB) [۴۰] است (شکل ۶ الف). شیمی بازالت‌ها نسبت به عناصر خاکی نادر سبک (LREE) بیش از عناصر خاکی نادر سنگین (HREE) (غنى شدگی نشان می‌دهند $\text{La}_{\text{N}}/\text{Yb}_{\text{N}} = ۷/۷-۹/۸$). این ویژگی می‌تواند بدلیل ذوب بخشی جزئی منبع اولیه مآگمای مادر این سنگ‌ها و یا آلایش مآگمای مادر با مواد پوسته‌ای باشد. همچنین با توجه به شبیه ملایم نمودار REE و شباخت فراوانی HREE‌ها بهنجار شده به کندریت با محیط نوع مورب عادی (N-MORB) چنین برداشت می‌شود که مذاب بازالتی از یک منبع گوشه‌ای غیر عمیق و بدون گارنت تشکیل شده است. با توجه به ضریب تفکیک بالای HREE‌ها در کانی کلینوپیروکسن نسبت به LREE‌ها در مذاب‌های بازالتی [۴۱]، تبلور کلینوپیروکسن از مآگما در مرکز HREE‌ها نقش داشته و از عوامل ایجاد این الگوی REE برای بازالت‌های مورد بررسی است. بازالت‌های مورد بررسی در الگوی REE ناهنجاری منفی $(\text{Eu}_{\text{N}}/\text{Gd}_{\text{N}})^{1/2}$ [۴۲] ندارد که بیانگر نبود تبلور جدایشی (جداش بخشی) پلاژیوکلاز در این سنگ‌هاست. نمودار عنکبوتی بهنجار شده به گوشه‌های اولیه [۴۰] نشان می‌دهد که این سنگ‌ها از عناصر سنگ دوست بزرگ یون (LILE) نسبت به عناصر با شدت میدان بالا (HFSE) غنی‌تر شده‌اند (شکل ۶ ب). نمودار عنکبوتی بازالت‌های مورد بررسی از الگوی OIB پیروی می‌کند، ولی نسبت به Nb و Ti تهی شده هستند که این از ویژگی‌های مآگمای تشکیل شده در محیط قوس یا وابسته به قوس است. الگوی عناصر فرعی و جزئی بازالت‌ها کاملاً مشابه الگوی پوسته قاره‌ای کل [۴۳] بهنجار شده به گوشه‌های اولیه است.



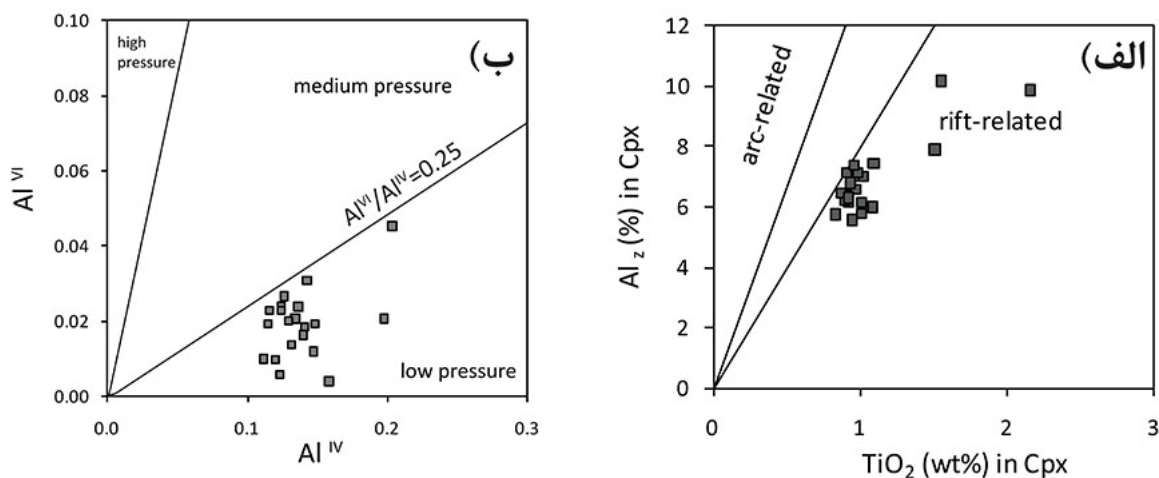
شکل ۶ الف) الگوی عناصر خاکی نادر سنگ‌های بازالتی بهنجار شده به کندریت [۴۰] و ب) نمودار عنکبوتی بهنجار شده به گوشه اولیه [۴۰] بازالت‌های مورد بررسی (مقادیر OIB برگرفته از مرجع [۴۰] و مقادیر مربوط به پوسته قاره‌ای کل از مرجع [۴۳] هستند)



شکل ۷ (الف) نمودار تعیین سری ماقمایی [۲۷] براساس شیمی کانی کلینوپیروکسن، (ب) نمودار Al_2O_3 نسبت به SiO_2 کلینوپیروکسن برای تعیین سری ماقمایی سنگ‌های بازالتی [۳۲]، (پ و ت) نمودار تعیین سری ماقمایی و محیط زمین‌ساختی ماقمایی مادر بازالت‌های مورد بررسی [۲۷].

محیط کافت قرار دارند. در این نمودار، Al_{Z} مقدار آلومینیومی است که می‌تواند در جایگاه چاروجهی کانی کلینوپیروکسن جای بگیرد و برابر است با $2 \times 100 \times [\text{Al}^{\text{IV}}]$ [۳۲]. با وجود داده‌های زمین شیمیایی سنگ کل بازالت‌ها که نشان می‌دهد شیمی این سنگ‌ها با ویژگی‌های بازالت‌های محیط قوس همخوانی دارند، با توجه به شیمی کانی کلینوپیروکسن، به طور کلی نمی‌توان خاستگاه مربوط به مناطق کششی ماقمایی مادر کلینوپیروکسن‌ها را نادیده گرفت. از آنجا که جانشینی Al در جایگاه هشتوجهی ساختار کلینوپیروکسن به شدت وابسته به فشار است [۴۵]، با افزایش فشار مقدار Al بیشتری در جایگاه هشتوجهی جانشین می‌شود. در نمودار Al^{IV} نسبت به Al^{VI} [۲۹] کلینوپیروکسن، این نمونه‌ها در گستره فشار پایین قرار دارند که می‌تواند شاهدی برای تبلور این کانی در مناطق زمین ساختی فشار پایین و کششی باشد (شکل ۸ ب).

مقدار Cr_2O_3 و Al_2O_3 در کلینوپیروکسن‌ها پایین بوده که نشانگر تهی بودن ماقمایی مادر بازالت‌ها از این عناصر است. پایین بودن TiO_2 از ویژگی بارز ماقمایی تشكیل شده در محیط زمین ساختی مربوط به قوس بوده و یا ممکن است بدلیل فرورانش‌های پیشین، ماقمایی مادر این سنگ‌ها از TiO_2 تهی شده باشد [۲۸]. با توجه به نمودار Ca نسبت به $\text{Ti}+\text{Cr}$ ترکیب کلینوپیروکسن (شکل ۷ پ)، ترکیب کلینوپیروکسن در گستره همپوشی کلینوپیروکسن‌های کوهزایی و غیرکوهزایی واقع است. رسم کلینوپیروکسن نمونه‌های بازالتی در نمودار TiO_2 نسبت به Al_{Z} که برای تفکیک سنگ‌های مافیک و فرامافیک شکل گرفته از ماقمایی قلیایی و نیمه قلیایی در محیط‌های مختلف زمین ساختی کوهزایی و غیرکوهزایی براساس شیمی کانی کلینوپیروکسن پیشنهاد شده است [۴۴] (شکل ۸ الف) نشان می‌دهد که کلینوپیروکسن سنگ‌های مورد بررسی در گستره کلینوپیروکسن‌های وابسته به



شکل ۸ (الف) نمودار TiO_2 به Al_z نسبت برای تعیین محیط زمین‌ساختی تشکیل بازالت‌های مورد بررسی در منطقه گشت-ماسوله براساس شیمی کلینوپیروکسن [۴۴] و (ب) نمودار Al^{VI} به Al^{IV} نسبت برای تعیین گستره فشار تبلور کانی کلینوپیروکسن از مagma مادر سنگ‌های بازالتی گشت-ماسوله [۲۹].

نشان می‌دهند، می‌توان چنین گفت که این سنگ‌ها در یک محیط کششی تشکیل شده‌اند. همچنین، ترکیب شیمیایی مربوط به مناطق قوس یک ویژگی به ارث رسیده از رخدادهای فروزانش پیشین در منطقه بوده است و / یا ترکیب شیمیایی magma مادر این سنگ‌ها در صعود به طبقه‌های بالای پوسته‌ای با مواد پوسته‌ای و یا سیال‌های برآمده از فروزانش پیشین آلایش یافته است که باعث بروز ویژگی magma مادر باسته به قوس در این سنگ‌ها شده است.

قدرتانی

این مقاله برگرفته از پایان‌نامه دکتری نویسنده اول است. از وزارت علوم، تحقیقات و فناوری برای تأمین هزینه‌های فرصت مطالعاتی برای انجام این پژوهش قدردانی می‌شود. از دانشگاه تبریز بدلیل حمایت و فراهم نمودن امکانات بررسی هایی و وسیله نقلیه برای کارهای صحرایی سپاسگذاری می‌گردد. از خانم دکتر کریستینا گونتر از مؤسسه علوم زمین دانشگاه پتسدام که در تجزیه شیمیایی کمک کردند متشرکریم. از داوران محترم مجله بابت راهنمایی و نظرهای سازنده‌شان برای ارتقاء علمی این مقاله تشکر می‌شود.

مراجع

- [1] Alavi M., "Tectonostratigraphic synthesis and structural style of the Alborz mountain system in northern Iran", Journal of Geodynamics, 21(1), 1-33 (1996).

برداشت

۱. ترکیب شیمیایی سنگ‌های بازالتی و شیمی کلینوپیروکسن‌های آنها نشان می‌دهد که این بازالت‌ها از یک magma نیمه قلیایی با ویژگی آهکی قلیایی متابولور شده‌اند.

۲. الگوی عناصر خاکی نادر بهنجار شده به کندریت غنی شدگی عناصر خاکی نادر سبک را نسبت به عناصر خاکی نادر سنگین ($\text{La}_N/\text{Yb}_N = ۷/۷ - ۹/۸$) نشان می‌دهد که این ویژگی می‌تواند ناشی از نرخ ذوب بخشی کم در منبع اولیه تشکیل دهنده این magma‌ها یا در اثر آلایش magma مادر با مواد پوسته‌ای و یا دگرنهادی گوشه‌ای توسط سیال‌های برآمده از صفحه فرورونده در ارتباط با رخداد فروزانش پیشین در این منطقه باشد.

۳. محیط زمین‌ساختی تشکیل این سنگ‌ها براساس شیمی سنگ‌کل و شیمی کانی کلینوپیروکسن وابسته به محیط دگرگونی کششی و در ارتباط با مناطق قوس است.

۴. درشت بلورهای کلینوپیروکسن بازالت‌های مورد بررسی بدون منطقه‌بندی شیمیایی هستند. این کلینوپیروکسن‌ها فقری از سدیم هستند و ترکیب دیوپسید را دارند. ترکیب شیمیایی کلینوپیروکسن‌ها نشان می‌دهد که این کانی از magma می‌باشد. مقدار تیتانیوم و منیزیم پایین متابولور شده‌اند.

۵. از آنجا که این سنگ‌ها از نظر شیمیایی ویژگی‌های magma مادر تشکیل شده در مناطق کششی و از طرفی قوس را

- zone (in Persian)", Iranian Journal of Crystallography and Mineralogy 19 (2012) 699-714.*
- [12] Kazmin V., "Tectonic evolution of the Caucasus and Fore-Caucasus in the late Paleozoic", Doklady Earth Sciences 406 (2006) 66-68.
- [13] Ansari M.R, Vossoughi Abedini M., Darvish Zadeh A., Sheikhzakariaee S., Hossein Mirzaee Beni Z., "Geochemical constrain on the Early Cretaceous, OIB-type alkaline volcanic rocks in Kojor volcanic field, Central Alborz Mountain, north of Iran", Australian Journal of Basic and Applied Sciences 5(10) (2011) 913-925.
- [14] Ansari M.R., "Geochemistry of Mid Cretaceous Alkaline Volcanic Rocks, member of Chaloos formation, Abbas Abad Volcanic Field, Central Alborz Mountains, North of Iran", Life Science Journal 10 (2013) 874-883.
- [15] Salavati M., "Petrology, geochemistry and mineral chemistry of extrusive alkalic rocks of the Southern Caspian Sea Ophiolite, Northern Alborz, Iran: Evidence of alkaline magmatism in southern Eurasia", Journal of Applied Sciences 8(12) (2008) 2202-2216.
- [16] Salavati M., Kananian A., Samadi Soofi A., Zaeimnia F., "Mineral chemistry of ultramafic rocks from the Southern Caspian Sea Ophiolite (Eastern Guilan): evidence for a high-pressure crystal fractionation (in Persian)", Iranian Journal of Crystallography and Mineralogy 17 (2009) 149-166.
- [17] Delavari M., Moradi R., Tabbakh Shabani A.A., "Mineral chemistry, thermobarometry and tectonomagmatic setting of Late-Cretaceous volcanic rocks from the Kojid area (south of Lahijan, northern Alborz) (in Persian)", Petrology 9(33) (2018) 133-164.
- [18] Haghnaz Sh., Malakotian S., "Petrography and Geochemistry of the Javaherdasht basalts (east of Guilan Province): The investigation of the role of crystal fractionation and crustal contamination in the magmatic evolution (in Persian)", Iranian Journal of Crystallography and Mineralogy 17 (2009) 553-266.
- [19] Haghnaz Sh., Malakotian S., Alahyarii K., "Investigation of petrological, mineralogical and geochemical properties of Javaherdasht gabbros (east of Guilan province) (in Persian)", Iranian [2] Berberian M., King G., "Towards a paleogeography and tectonic evolution of Iran", Canadian Journal of Earth Sciences 18(2) (1981) 210-265.
- [3] Brunet M-F., Korotaev MV., Ershov AV., Nikishin AM., "The South Caspian Basin: a review of its evolution from subsidence modelling", Sedimentary Geology 156(1-4) (2003) 119-148.
- [4] Şengör A., "A new model for the late Palaeozoic—Mesozoic tectonic evolution of Iran and implications for Oman", Geological Society, London, Special Publications 49(1) (1990) 797-831.
- [5] Omrani H., Moazzen M., Oberhänsli R., Tsujimori T., Bousquet R., Moayyed M., "Metamorphic history of glaucophane-paragonite-zoisite eclogites from the Shanderman area, northern Iran", Journal of Metamorphic Geology, 31(8) (2013) 791-812.
- [6] Zanchi A., Zanchetta S., Berra F., Mattei M., Garzanti E., Molyneux S., Nawab A., Sabouri J., "The Eo-Cimmerian (Late? Triassic) orogeny in North Iran", Geological Society, London, Special Publications 312(1) (2009) 31-55.
- [7] Aghanabati A., "Jurassic Stratigraphy of Iran", Geological Survey of Iran 2 (1998) 746.
- [8] Seyed-Emami K., Fürsich FT., Wilmsen M., "Documentation and significance of tectonic events in the northern Tabas Block (east-central Iran) during the Middle and Late Jurassic", Rivista Italiana di Paleontologia e Stratigrafia (Research In Paleontology and Stratigraphy) 110(1) (2004) 163-171.
- [9] Fürsich FT., Wilmsen M., Seyed-Emami K., Majidifard MR., "The Mid-Cimmerian tectonic event (Bajocian) in the Alborz Mountains, northern Iran: evidence of the break-up unconformity of the South Caspian Basin", Geological Society, London, Special Publications 312(1) (2009) 189-203.
- [10] Doroozi R., Vaccaro C., Masoudi F., Petrini R., "Petrogenesis and mantle source characteristics of Triassic alkaline basaltic rocks of North Kamarbon, Northern Central Alborz, Iran", Solid Earth Sciences 3(4) (2018) 115-129.
- [11] Ghasemi H., Jamshidi K., "Geochemistry, petrology and proposed tectonomagmatic model for generation of alkaline basic rocks in the base of the Shemshak Formation, the eastern Alborz

- [31] Brey G., Köhler T., “*Geothermobarometry in four-phase Iherzolites II. New thermobarometers, and practical assessment of existing thermobarometers*”, Journal of Petrology 31(6) (1990) 1353-1378.
- [32] LeBas MJ., “*The role of aluminum in igneous clinopyroxenes with relation to their parentage*”, American Journal of Science 260(4) (1962) 267-288.
- [33] Nimis P., Taylor WR., “*Single clinopyroxene thermobarometry for garnet peridotites. Part I. Calibration and testing of a Cr-in-Cpx barometer and an enstatite-in-Cpx thermometer*”, Contributions to Mineralogy and Petrology 139(5) (2000) 541-554.
- [34] Droop G., “*A general equation for estimating Fe³⁺ concentrations in ferromagnesian silicates and oxides from microprobe analyses, using stoichiometric criteria*”, Mineralogical Magazine 51(361) (1987) 431-435.
- [35] Morimoto N., “*Nomenclature of pyroxenes*”, Mineralogy and Petrology 39(1) (1988) 55-76.
- [36] Winchester JA., Floyd P.A., “*Geochemical discrimination of different magma series and their differentiation products using immobile elements*”, Chemical Geology 20 (1977) 325-343.
- [37] Ross P-S., Bédard J.H., “*Magmatic affinity of modern and ancient subalkaline volcanic rocks determined from trace-element discriminant diagrams*”, Canadian Journal of Earth Sciences 46(11) (2009) 823-839.
- [38] Jenner G., Dunning G., Malpas J., Brown M., Brace T., “*Bay of Islands and Little Port complexes, revisited: age, geochemical and isotopic evidence confirm suprasubduction-zone origin*”, Canadian Journal of Earth Sciences 28(10) (1991) 1635-1652.
- [39] Pearce J.A., Peate D.W., “*Tectonic implications of the composition of volcanic arc magmas*”, Annual review of Earth and Planetary Sciences 23(1) (1995) 251-285.
- [40] Sun S-s., McDonough W.F., “*Chemical and isotopic systematics of oceanic basalts: implications for mantle composition and processes*”, Geological Society, London, Special Publications 42(1) (1989) 313-345.
- [41] Rollinson, H. R., “*Using geochemical data: evaluation, presentation, interpretation*” London: Longman Scientific & Technical (1993) 352.
- Journal of Crystallography and Mineralogy 18 (2011) 545-562.
- [20] Haghnazari Sh., Vosoughi Abedini M., Pourmoafi M., “*Mantle source signatures of the basalts from Javaherdasht area (E Gilan) based on geochemistry and isotopic evidence (in Persian)*”, Iranian Journal of Geology 8 (2009) 95-102.
- [21] Jafari Sough R., Asiabhanha A., Nasrabadi M., “*Geochemistry of Cretaceous hydromagmatic lava flows in Separdeh district, NE Qazvin, central Alborz (in Persian)*”, Iranian Journal of Crystallography and Mineralogy 26 (2018) 717-732.
- [22] Nazari H., Omrani J., Shahidi A., Salamatı R., Mousavi A., “*Geological map of Bandar-e-Anzali sheet, Scale 1:100000*”, Geological Survey and Mineral Exploration of Iran, Tehran (2004) 1.
- [23] Clark G., Davies R., Hamzepour B., Jones C., Ghorashi M., Navaee I., “*Geological map of Bandar-e-Anzali Quadrangle map, Scale 1:250000*”, Geological Survey and Mineral Exploration of Iran, Tehran (1977) 1.
- [24] Whitney DL., Evans B.W., “*Abbreviations for names of rock-forming minerals*”, American mineralogist 95(1) (2010) 185-187.
- [25] Bender J., Hodges F., Bence A., “*Petrogenesis of basalts from the project FAMOUS area: experimental study from 0 to 15 kbars*”, Earth and Planetary Science Letters 41(3) (1978) 277-302.
- [26] Kushiro I., “*Si-Al relation in clinopyroxenes from igneous rocks*”, American Journal of Science 258(8) (1960) 548-554.
- [27] Leterrier J., Maury RC., Thonon P., Girard D., Marchal M., “*Clinopyroxene composition as a method of identification of the magmatic affinities of paleo-volcanic series*”, Earth and Planetary Science Letters 59(1) (1982) 139-154.
- [28] Beccaluva L., Macciotta G., Piccardo G., Zeda O., “*Clinopyroxene composition of ophiolite basalts as petrogenetic indicator*”, Chemical Geology 77(3-4) (1989) 165-182.
- [29] Aoki K-I., Shiba I., “*Pyroxenes from Iherzolite inclusions of Itinome-gata, Japan*”, Lithos 6(1) (1973) 41-51.
- [30] Bertrand P., Mercier J.C.C., “*The mutual solubility of coexisting ortho-and clinopyroxene: toward an absolute geothermometer for the natural system?*”, Earth and Planetary Science Letters 76(1-2) (1985) 109-122.

- orogenic belts by the Al/Ti ratio in clinopyroxene”, Geology 18(4) (1990) 346-349.
- [45] Wilson A.F., “Aluminium in coexisting pyroxenes as a sensitive indicator of changes in metamorphic grade within the mafic granulite terrane of the Fraser Range, Western Australia”, Contributions to Mineralogy and Petrology 56(3) (1976) 255-277.
- [42] Taylor S.R., McLennan S.M., “The continental crust: its composition and evolution”, United States: Blackwell Scientific Publications (1985) 328.
- [43] Rudnick R.L., Gao S., “Composition of the continental crust”, Treatise on Geochemistry 3 (2003) 659.
- [44] Loucks R.R., “Discrimination of ophiolitic from nonophiolitic ultramafic-mafic allochthons in